

07,12

## Зарождение трещин вблизи свободной поверхности в деформируемых металлических наноматериалах с бимодальной структурой

© И.А. Овидько<sup>1-3</sup>, А.Г. Шейнерман<sup>1-3</sup>

<sup>1</sup> Научно-исследовательская лаборатория „Механика новых наноматериалов“, Санкт-Петербургский политехнический университет Петра Великого, Санкт-Петербург, Россия

<sup>2</sup> Институт проблем машиноведения РАН, Санкт-Петербург, Россия

<sup>3</sup> Санкт-Петербургский государственный университет, Санкт-Петербург, Россия

E-mail: ovidko@nano.ipme.ru

(Поступила в Редакцию 24 ноября 2015 г.)

Построена теоретическая модель, которая эффективно описывает зарождение трещин в полях напряжений дислокационных скоплений вблизи свободной поверхности в металлических наноматериалах с бимодальной структурой. Рассчитаны зависимости критического напряжения  $\tau_c$  (для образования трещины с равновесной длиной 10 нм на дислокационном скоплении вблизи поверхности) от размера  $d$  зерна, содержащего дислокационное скопление, для меди с бимодальной структурой. Теоретически выявлено, что значение критического напряжения  $\tau_c$  для зарождения трещины вблизи свободной поверхности в металлическом наноматериале с бимодальной структурой примерно на 30% выше такового для зарождения трещины внутри наноматериала в удалении от свободной поверхности.

Работа выполнена при поддержке Российского научного фонда (грант № 14-29-00199).

### 1. Введение

Нанокристаллические и ультрамелкозернистые материалы (далее наноматериалы) с их уникальными механическими, физическими и химическими свойствами являются предметом интенсивных научных исследований (например, [1–11]). Так, металлические наноматериалы характеризуются превосходными механическими свойствами, включая высокие пределы текучести и прочности, высокую износостойкость, способность некоторых наноматериалов к сверхпластической деформации; см. обзоры [1–5] и монографию [6]. При этом поведение металлических наноматериалов под механической нагрузкой во многом задается действием особых физических механизмов пластической деформации в таких наноматериалах. В частности, в металлических наноматериалах пластическая деформация эффективно реализуется посредством таких специфических (для металлических наноструктур) механизмов деформации как: решеточное скольжение и деформационное нанодвойникование, носителями которых являются полные и частичные дислокации, зарождающиеся на границах зерен; зернограничное скольжение; стимулируемая напряжением миграция границ зерен; наномасштабная ротационная деформация; деформация, переносимая зернограничной диффузией и диффузией вдоль тройных стыков границ зерен [1–6, 12–19].

Особые физические механизмы пластической деформации и обычное решеточное скольжение (которое

доминирует в крупнозернистых поликристаллических металлах) одновременно действуют в металлических наноматериалах с бимодальной структурой, каждый из которых состоит из нанокристаллической или ультрамелкозернистой матрицы и больших зерен, размеры которых значительно больше среднего размера зерен матрицы [20–22] (рис. 1). Задаваемое особенностями бимодальной структуры кооперативное действие нескольких механизмов деформации определяет превосходные механические свойства (прежде всего, уникальное сочетание высокой прочности и функциональной пластичности) металлических наноматериалов с бимодальной структурой [20–22].

Наряду с наноструктурой, эффекты свободной поверхности существенно влияют на механизмы деформации и механические свойства металлических наноматериалов [23–26]. Например, данные эффекты акцентированно проявляются в металлических микроколоннах, которые характеризуются сверхпрочностью [23, 25], вследствие быстрого ухода и исчезновения дислокаций (носителей пластической деформации) на свободных поверхностях деформируемых микроколонн [23, 25]. Вместе с тем, влияние свободных поверхностей на процессы пластической деформации и разрушения остается мало изученным явлением в наноматериалах, в частности, в металлических наноматериалах с бимодальной структурой. Основная цель настоящей работы — построение теоретического описания влияния свободной поверхности на зарождение трещин в поле напряжений дислокационного скоп-

ления — носителя пластической деформации в большом зерне металлического наноматериала с бимодальной структурой.

## 2. Модель

Рассмотрим деформируемый металлический наноматериал с бимодальной структурой, состоящий из нанокристаллической или ультрамелкозернистой матрицы и микроскопических зерен, размеры которых значительно больше среднего размера зерен матрицы (рис. 1). Для удобства в дальнейшем будем называть микроскопические зерна большими независимо от их размера. Пусть

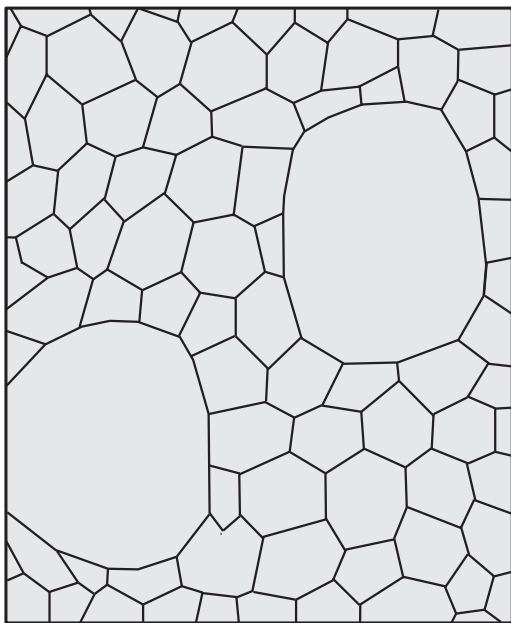


Рис. 1. Наноматериал с бимодальной структурой (схематически).

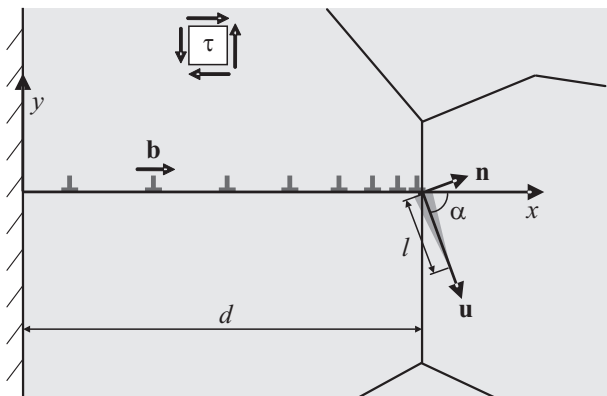


Рис. 2. Зарождение нанотрещины на дислокационном скоплении, заторможенном на границе зерна вблизи свободной поверхности деформируемого металла с бимодальной структурой.

сдвиговая нагрузка, приложенная к одной из поверхностей материала, создает в нем постоянное сдвиговое напряжение  $\tau$ . Рассмотрим случай, когда в результате действия дислокационного источника Франка–Рида в одном из больших зерен, примыкающих к поверхности, образуется скопление краевых решеточных дислокаций с векторами Бюргера  $\mathbf{b}$  (рис. 2). Наличие в наноматериале бимодальной структуры приводит к сочетанию высокого напряжения течения  $\tau$  и большой длины скопления, недостижимому в наноматериалах с примерно одинаковыми размерами зерен. Как следствие, если размер  $d$  большого зерна и величина приложенного напряжения  $\tau$  достаточно велики, высокие напряжения, действующие вблизи головной дислокации скопления, могут привести к зарождению нанотрещины (рис. 2).

## 3. Расчет условий зарождения и роста нанотрещины

Рассчитаем условия зарождения и роста нанотрещины в поле напряжений такого дислокационного скопления. Для этого введем систему координат  $(x, y)$ , как показано на рис. 2. Обозначим координату головной дислокации скопления  $x = d$ , длину трещины как  $l$ , а угол между плоскостью нанотрещины и направлением оси  $x$  как  $\alpha$ . Для расчета условий роста внутризеренной нанотрещины воспользуемся энергетическим критерием [27]

$$F > 2\gamma, \quad (1)$$

где  $F$  — конфигурационная сила (упругая энергия, высвобождаемая при росте трещины на единицу длины), а  $\gamma$  — удельная поверхностная энергия. Для расчета конфигурационной силы  $F$  воспользуемся стандартным приближением, в рамках которого металлический материал считается упругоизотропным и имеет модуль сдвига  $G$  и коэффициент Пуассона  $\nu$ . Введем систему координат  $(u, n)$ , связанную с плоскостью трещины, как показано на рис. 2. В рассматриваемом случае упругоизотропного материала и плоского деформируемого состояния конфигурационная сила  $F$  рассчитывается по формуле [27]

$$F = \frac{\pi l(1-\nu)}{4G} (\bar{\sigma}_{nn}^2 + \bar{\sigma}_{nn}^2), \quad (2)$$

где  $\sigma_{nn}$  и  $\sigma_{nn}$  — компоненты поля напряжений, создаваемых приложенной нагрузкой  $\tau$  и дислокационным скоплением, а  $\bar{\sigma}_{nn}$  и  $\bar{\sigma}_{nn}$  — средневзвешенные значения этих напряжений, определяемые соотношением [27]

$$\bar{\sigma}_{kn} = \frac{2}{\pi l} \int_0^l \sigma_{kn}(u, n=0) \sqrt{\frac{u}{l-u}} du, \quad k = n, u. \quad (3)$$

В формуле (3) координата  $u$  при  $n = 0$  связана с координатами  $x$  и  $y$  выражениями  $x = d + u \cos \alpha$ ,  $y = -u \sin \alpha$ .

Напряжения  $\sigma_{im}$  и  $\sigma_{nm}$  рассчитываются по формулам

$$\sigma_{im} = (\sigma_{xx}^p - \sigma_{yy}^p) \sin \alpha \cos \alpha + (\sigma_{xy}^p + \tau) \cos(2\alpha), \quad (4)$$

$$\sigma_{nm} = \sigma_{xx}^p \cos^2 \alpha + \sigma_{yy}^p \sin^2 \alpha + (\sigma_{xy}^p + \tau) \sin(2\alpha), \quad (5)$$

где  $\sigma_{ij}^p$  ( $i, j = x, y$ ) — поле напряжений, создаваемых дислокационным скоплением. В свою очередь, напряжения  $\sigma_{ij}^p(x, y)$ , создаваемые дислокационным скоплением, связаны с напряжениями  $\sigma_{ij}^d$ , создаваемые входящими в него дислокациями, соотношением

$$\sigma_{ij}^p(x, y) = \sum_{k=0}^N \sigma_{ij}^d(x, x_k, y), \quad (6)$$

где  $N+1$  — число дислокаций в скоплении, а  $x_0, x_1, \dots, x_N$  — координаты входящих в него дислокаций. В упругоизотропном приближении напряжения  $\sigma_{ij}^d$  рассчитываются по формулам [28]

$$\sigma_{xx}^d(x, h, y) = \frac{Db}{2} \left\{ -\frac{2y}{r_1^4} - \frac{4x_1^2 y}{r_1^4} + \frac{2y}{r_2^4} + \frac{4x_2^2 y}{r_2^4} - 2h \left[ \frac{4x_2 y}{r_2^4} - \frac{16x_2^3 y}{r_2^6} - 2h \left( \frac{2y}{r_2^4} - \frac{8x_2^2 y}{r_2^6} \right) \right] \right\}, \quad (7)$$

$$\sigma_{yy}^d(x, h, y) = \frac{Db}{2} \left\{ -\frac{2y}{r_1^4} + \frac{4x_1^2 y}{r_1^4} + \frac{2y}{r_2^4} - \frac{4x_2^2 y}{r_2^4} - 2h \left[ -\frac{12x_2 y}{r_2^4} + \frac{16x_2^3 y}{r_2^6} + 2h \left( \frac{2y}{r_2^4} - \frac{8x_2^2 y}{r_2^6} \right) \right] \right\}, \quad (8)$$

$$\sigma_{xy}^d(x, h, y) = \frac{Db}{2} \left\{ -\frac{2x_1}{r_1^4} + \frac{4x_1^3}{r_1^4} + \frac{2x_2}{r_2^4} - \frac{4x_2^3}{r_2^4} - 2h \left[ \frac{2}{r_2^4} - \frac{16x_2^2}{r_2^4} + \frac{16x_2^4}{r_2^6} + 2h \left( \frac{6x_2}{r_2^4} - \frac{8x_2^3}{r_2^6} \right) \right] \right\}, \quad (9)$$

где  $D = G/[2\pi(1-\nu)]$ ,  $x_{1,2} = x \mp h$ , а  $r_{1,2}^2 = x_{1,2}^2 + y^2$ .

Координата  $x_0$  головной дислокации скопления определяется соотношением  $x_0 = d$ . Координаты  $x_k$  остальных дислокаций скопления можно рассчитать из условий равновесия  $F_x^k = 0$ , ( $k = 1, \dots, N$ ), где  $F_x^k$  — проекция на ось  $x$  суммарной силы  $\mathbf{F}^k$ , действующей на  $k$  дислокацию скопления.

Суммарная сила  $F_x^k$ , действующая на  $k$  дислокацию, представима в виде

$$F_x^k = b \sum_{\substack{j=0 \\ j \neq k}}^N \sigma_{xy}^d(x, x_j, y = 0) + F_x^{im} + \tau b, \quad (10)$$

где  $b$  — величина вектора Бюргера дислокаций, а  $F_x^{im} = -Db^2/x_k$  — проекция на ось  $x$  силы взаимодействия  $k$  дислокации с поверхностью твердого тела. В формуле (10) первое слагаемое дает проекцию силы, действующую на  $k$ -ую дислокацию со стороны остальных дислокаций скопления, а последнее слагаемое определяет силу, действующую на эту дислокацию со

стороны сдвигового напряжения  $\tau$ . Подставляя формулы (9) и (10), а также выражение для силы  $F_x^{im}$  в условие равновесия  $F_x^k = 0$ , получаем следующую систему уравнений для определения координат  $x_k$ :

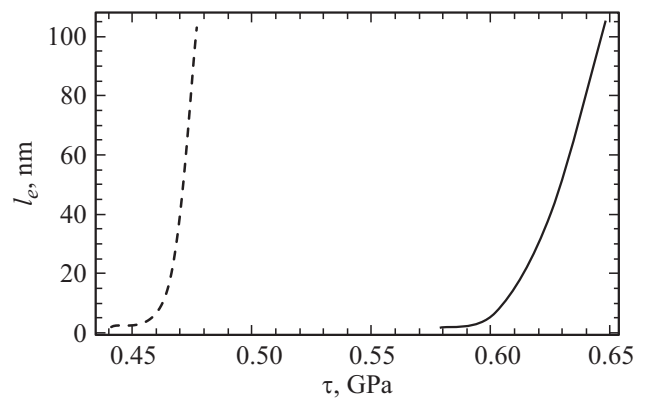
$$\frac{2\tau}{D} = b \sum_{\substack{j=0 \\ j \neq k}}^N \frac{16x_j^2 x_k}{(x_j - x_k)(x_j + x_k)^3} + \frac{b}{x_k}, \quad k = 1, \dots, N. \quad (11)$$

Координаты  $x_k$  дислокаций скопления рассчитываются путем численного решения системы уравнений (11).

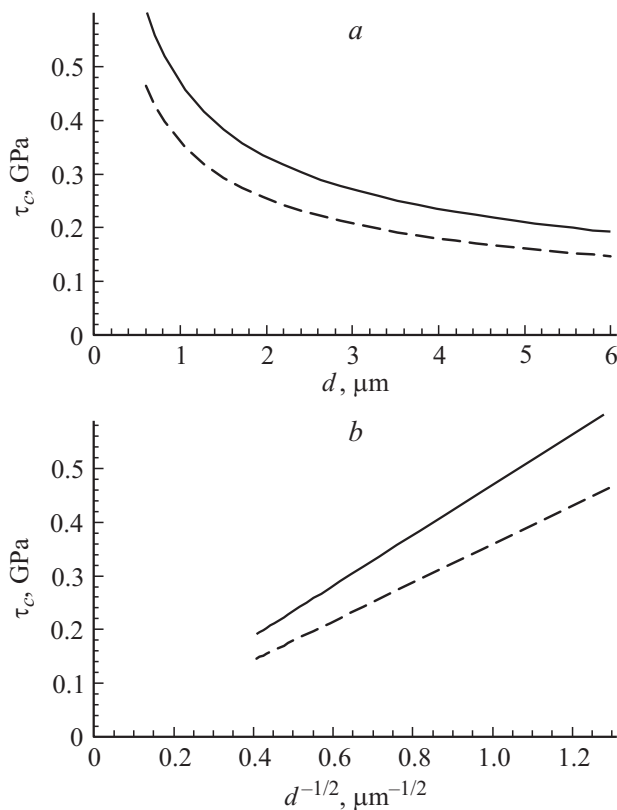
#### 4. Критические параметры образования нанотрещины

Рассчитаем теперь условия зарождения и роста нанотрещины для меди, имеющей бимодальную структуру и характеризующейся следующими значениями параметров:  $G = 48$  GPa,  $\nu = 0.34$ ,  $b = 0.25$  nm и  $\gamma = 1.7$  J/m<sup>2</sup> [29]. Анализ для случая меди показывает, что в зависимости от величины приложенного напряжения  $\tau$ , а также значений параметров  $d$  и  $\alpha$  возможны три ситуации: 1) рост трещины энергетически невыгоден ни при какой длине трещины, 2) рост трещины выгоден до достижения ей равновесной длины  $l_e$  (то есть при  $l < l_e$ ), и 3) рост трещины выгоден при любой длине трещины. В последнем случае напряжение, создаваемое дислокационным скоплением, позволяет трещине дорасти до критической (гриффитсовской) длины, при превышении которой рост трещины может тормозиться только в результате локальной пластической деформации у ее вершины.

Зависимость равновесной длины трещины  $l_e$  от величины приложенного напряжения  $\tau$  приведена на рис. 3 для случая  $d = 600$  nm и  $\alpha = 70^\circ$ . (Анализ показывает,



**Рис. 3.** Зависимости равновесной длины  $l_e$  нанотрещины, зарождающейся на дислокационном скоплении в меди, от величины приложенного сдвигового напряжения  $\tau$  для случая  $d = 600$  nm и  $\alpha = 70^\circ$ . Сплошная и штрихованная кривые показывают зависимости соответственно для трещины вблизи поверхности и трещины в бесконечном теле.



**Рис. 4.** Зависимости критического сдвигового напряжения  $\tau_c$  для зарождения нанотрещины в поле напряжений дислокационного скопления от размера  $d$  большого зерна (*a*) и параметра  $d^{-1/2}$  (*b*). Сплошные и штрихованные кривые показывают зависимости соответственно для трещины вблизи поверхности и трещины в бесконечном твердом теле.

что угол  $\alpha \approx 70^\circ$  соответствует наиболее легкому зарождению и росту трещины.) Для сравнения на рис. 3 также представлена зависимость  $l_e(\tau)$  для случая бесконечного твердого тела, рассчитанная с помощью расчетной схемы, аналогичной той, которая использовалась для расчета зависимости  $l_e(\tau)$  для трещины, зарождающейся вблизи поверхности. Как видно из рис. 3, как только напряжение  $\tau$  достигает значений, при которых зарождение трещины становится энергетически выгодным, равновесная длина трещины  $l_e$  очень быстро растет с увеличением  $\tau$ . Поэтому напряжения, соответствующие моменту зарождения нанотрещины, слабо отличаются от напряжений, при которых равновесная длина трещины превышает 100 nm. Как следствие, образование трещины можно характеризовать одним критическим напряжением  $\tau_c$ , соответствующим некоторой заданной равновесной длине нанотрещины. Для определенности мы определим критическое напряжение  $\tau_c$  как напряжение, при котором равновесная длина внутризеренной нанотрещины равна 10 nm.

Зависимости критического напряжения  $\tau_c$  (для образования трещины на дислокационном скоплении вблизи поверхности) от размера зерна  $d$ , содержащего дислока-

ционное скопление, в координатах  $(d, \tau_c)$  и  $(d^{-1/2}, \tau_c)$  приведены на рис. 4, *a* и 4, *b* соответственно для случая  $\alpha = 70^\circ$ . Для сравнения на рис. 4 также показаны соответствующие зависимости для случая бесконечного твердого тела. Рис. 4 наглядно демонстрирует, что как для трещины вблизи поверхности, так и для трещины в бесконечном твердом теле критическое напряжение  $\tau_c$  уменьшается с увеличением размера  $d$  большого зерна и прямо пропорционально  $d^{-1/2}$ . При этом наличие поверхности увеличивает значение критического напряжения  $\tau_c$  примерно на 30% по сравнению со случаем бесконечного тела.

## 5. Заключение

Таким образом, в настоящей работе построена теоретическая модель, которая эффективно описывает зарождение трещин в полях напряжений дислокационных скоплений вблизи свободной поверхности в металлических наноматериалах с бимодальной структурой (рис. 2). Выявлено, что в зависимости от величины приложенного напряжения  $\tau$ , а также значений параметров  $d$  (размер зерна, в котором сформировано дислокационное скопление) и  $\alpha$  (угол между плоскостью нанотрещины и нормалью к плоскости границы зерна) возможны три ситуации: 1) рост трещины энергетически невыгоден ни при какой длине трещины, 2) рост трещины выгоден до достижения ей равновесной длины  $l_e$  (то есть при  $l < l_e$ ) и 3) рост трещины выгоден при любой длине трещины.

Рассчитаны зависимости критического напряжения  $\tau_c$  (для образования трещины с равновесной длиной 10 nm на дислокационном скоплении вблизи поверхности) от размера  $d$  зерна, содержащего дислокационное скопление, в координатах  $(d, \tau_c)$  и  $(d^{-1/2}, \tau_c)$  (см. рис. 4, *a* и *b* соответственно) в меди для случая  $\alpha = 70^\circ$ . Для сравнения на рис. 4 также показаны соответствующие зависимости для случая бесконечного твердого тела. Эти зависимости демонстрируют, что как для трещины вблизи поверхности, так и для трещины в бесконечном твердом теле критическое напряжение  $\tau_c$  уменьшается с увеличением размера  $d$  большого зерна и прямо пропорционально  $d^{-1/2}$ . При этом значение критического напряжения  $\tau_c$  для зарождения трещины вблизи свободной поверхности в металлическом наноматериале с бимодальной структурой примерно на 30% выше такового для зарождения трещины внутри наноматериала в удалении от свободной поверхности.

Полученные результаты свидетельствуют о значимом влиянии свободной поверхности на зарождение трещин в металлических наноматериалах с бимодальной структурой. Таким образом, влияние свободной поверхности требует учета при описании процессов зарождения трещин и пластической деформации в металлических наноматериалах с бимодальной структурой.

**Список литературы**

- [1] I.A. Ovid'ko. *Int. Mater. Rev.* **50**, 65 (2005).
- [2] M. Dao, L. Lu, R.J. Asaro, J.T.M. De Hosson, E. Ma. *Acta Mater.* **55**, 4041 (2007).
- [3] C.S. Pande, K.P. Cooper. *Progr. Mater. Sci.* **54**, 689 (2009).
- [4] Г.А. Малыгин. *УФН* **181**, 1129 (2011).
- [5] Y. Estrin, A. Vinogradov. *Acta Mater.* **61**, 782 (2013).
- [6] C.C. Koch, I.A. Ovid'ko, S. Seal, S. Veprek. *Structural Nanocrystalline Materials: Fundamentals and Applications*. Cambridge University Press, Cambridge (2007). 364 p.
- [7] Р.Ф. Альмухаметов, Л.А. Габдрахманова, И.З. Шарипов, Я.Ф. Абзгильдин. *ФТТ* **56**, 224 (2014).
- [8] О.А. Маслова, Ф.В. Широков, Ю.И. Юзюк, М.Е. Marssi, M. Jain, N. Ortega, R.S. Katiyar. *ФТТ* **56**, 308 (2014).
- [9] Н.В. Токий, В.В. Токий, А.Н. Пилипенко, Н.Е. Письменова. *ФТТ* **56**, 966 (2014).
- [10] В.А. Москаленко, В.И. Бетехтин, Б.К. Кардашев, А.Г. Кадомцев, А.Р. Смирнов, Р.В. Смолянец, М.В. Нарыкова. *ФТТ* **56**, 1539 (2014).
- [11] С.В. Бобылев, И.А. Овидько. *ФТТ* **57**, 2005 (2015).
- [12] I.A. Ovid'ko. *Science* **295**, 2386 (2002).
- [13] M.Yu. Gutkin, I.A. Ovid'ko, N.V. Skiba. *Mater. Sci. Eng. A* **339**, 73 (2003).
- [14] D. Wolf, V. Yamakov, S.R. Phillpot, A.K. Mukherjee, H. Gleiter. *Acta Mater.* **53**, 1 (2005).
- [15] M.A. Meyers, A. Misra, D. Benson. *Progr. Mater. Sci.* **51**, 427 (2006).
- [16] S.V. Bobylev, I.A. Ovid'ko, A.K. Mukherjee. *Scr. Mater.* **60**, 36 (2009).
- [17] H.A. Padilla II, B.L. Boyce. *Exp. Mech.* **50**, 5 (2010).
- [18] S.V. Bobylev, N.F. Morozov, I.A. Ovid'ko. *Phys. Rev. Lett.* **105**, 055 504 (2010).
- [19] Y.T. Zhu, X.Z. Liao, X.L. Wu. *Progr. Mater. Sci.* **57**, 1 (2012).
- [20] V.L. Tellkamp, E.J. Laverbia, A. Melmed. *Metall. Mater. Trans. A* **32**, 2335 (2001).
- [21] Y. Wang, M. Chen, F. Zhou, E. Ma. *Nature* **419**, 912 (2002).
- [22] I.A. Ovid'ko, A.G. Sheinerman. *Rev. Adv. Mater. Sci.* **16**, 1 (2007).
- [23] J.R. Greer, W.D. Nix. *Phys. Rev. B* **73**, 245 410 (2006).
- [24] S.V. Bobylev, I.A. Ovid'ko. *Phys. Rev. Lett.* **103**, 135 501 (2009).
- [25] J.R. Greer, J.Th.M. De Hosson. *Progr. Mater. Sci.* **56**, 654 (2011).
- [26] S.V. Bobylev, I.A. Ovid'ko. *Phys. Rev. Lett.* **109**, 175 501 (2012).
- [27] В.Л. Инденбом. *ФТТ* **3**, 2071 (1961).
- [28] T. Mura. *Advances in Materials Research / Ed. H. Herman*. Interscience, N.Y. (1968). V. 3, P. 1–107.
- [29] Дж. Хирт, И. Лоте. *Теория дислокаций*. Атомиздат, М. (1974). 599 с.